马钱子碱对人肝癌细胞 HepG2 细胞膜电位和通透性的影响

徐 睿1,2,吕晓宇2,蔡宝昌3,项晓人3,邓旭坤2*

(1. 睢宁县人民医院 药剂科,江苏 睢宁 221200; 2. 中南民族大学,湖北 武汉 430074; 3. 南京中医药大学药学院,江苏 南京 210029)

摘 要:目的 探讨马钱子碱诱导 HepG2 细胞凋亡效应是否涉及其细胞膜通透性和细胞膜电位 (MP) 的改变,研究其抗肿瘤的分子机制。方法 以 HepG2 细胞为体外模型,采用吖啶橙/溴乙啶复合荧光染色通过荧光显微镜观察马钱子碱对 HepG2 细胞形态学和细胞膜通透性变化,采用膜敏感性荧光探针 Di-4-ANEPPS 标记细胞膜电位,利用激光共聚焦显微扫描技术研究马钱子碱对 HepG2 细胞膜电位在瞬间反应及不同时段的影响。结果 在瞬时反应中马钱子碱 (0.5 mmol/L) 对 HepG2 细胞的 MP 影响不明显,在 4 h 和 8 h 后,HepG2 细胞的 MP 没有明显变化,此时细胞已开始出现早期的凋亡形态学变化,如核固缩、胞膜皱缩、核碎裂、胞浆空泡化、凋亡小体形成等,12 h 后 MP 负值有所下降,但同时细胞膜保持完整,细胞膜通透性和完整性均没有明显变化。结论 马钱子碱在体外能通过诱导 HepG2 细胞凋亡来抑制其增殖,但这种早期诱导作用和细胞膜电位以及通透性没有明显相关性。

关键词:马钱子碱, 肝癌细胞 HepG2; 细胞膜电位, 通透性; 激光共聚焦显微扫描术

中图分类号:R286.1 文献标识码:A 文章编号:0253-2670(2008)11-1692-05

马钱子为马钱科植物马钱 Strychnos nuxvomica L. 的成熟种子,辛温大毒,具有抗炎消肿散结,活血通络止痛之功效,临床上广泛应用于痹症、炎症和肿瘤等疾病的治疗[1]。吲哚型生物碱马钱子碱(brucine) 和士的宁(strychnine)为其主要的活性成分[2]。动物实验显示马钱子碱具有显著的抗肿瘤作用,且毒性相对较低[3.4]。另外,还发现马钱子碱在体外可以显著抑制人肝癌细胞 HepG2 的增殖,且马钱子碱主要是通过诱导 HepG2 凋亡而发挥抗肿瘤作用[5.6]。在此基础上,本实验采用特异性荧光染料和激光共聚焦显微扫描技术(laser scanning confocal microscopy, LSCM)研究马钱子碱的诱导HepG2 凋亡效应是否涉及细胞膜通透性、细胞膜完整性以及细胞膜电位(membrane potentials, MP)的改变,以探讨其抗肿瘤作用的分子机制。

1 材料

1.1 药物与试剂:马钱子碱(NACALAI TESQUE. INC. KYOTO,日本,批号:M9F5231,质量分数>99.90%),以 0.1 mmol/L 磷酸盐缓冲液(PBS,pH 7.4) 配制成浓度为 10.0 mmol/L 的储存液,经 0.22 μm 微孔滤膜滤过除菌后,于 -20 ℃保存。吖啶橙(AO)、溴乙啶(EB),Sigma 公司产品:RPMI-1640, Gibco 公司产品;新生小牛血清

(56 ℃ 水浴灭活 0.5 h, -20 ℃ 保存), Hyclone 公司产品; 胰酶 Trypsin, Amresco 公司产品;细胞膜电位荧光探针 Di-4-ANEPPS (Molecular Probes,美国) 用 D Hank's 液配制和稀释。贮存浓度为 1 mmol/L, 分装后于 -20 ℃ 保存。负载时用 D Hank's 液稀释成 10 μmol/L, 其他为国产试剂。

- 1.2 主要仪器: 荧光显微镜 (Olympus BX60,日本),CO₂生化培养箱 (Forma Scientific,美国),激光 共聚焦显微镜系统 (LSM 510, Carl ZEISS,德国), 诱射电子显微镜 (Philips TECNAI-12,荷兰)。
- 1.3 细胞株及细胞培养:人肝癌细胞株 HepG2 (购自中国科学院上海细胞生物研究所,由本实验室传代培养)。RPMI-1640 培养液加入 10% 新生小牛血清、青霉素 (100 U/mL)、链霉素 (100 μg/mL),调 pH 7.2~7.4,经 0.22 μm 微孔滤膜滤过除菌。置于培养箱中 37 ℃、5% CO₂、饱和湿度条件下培养,隔日更换新鲜培养基,3~5 d 传代1次。

2 方法

2.1 AO/EB 活细胞复合荧光染色观察细胞核染色质和细胞膜通透性的变化^[7]:取对数生长的HepG2 细胞制成细胞悬液 (4×10⁴/mL),接种于预先放入经多聚赖氨酸处理的小载玻片的 12 孔细胞培养板中 (1 mL/孔),过 12 h 待细胞贴壁后,加人

收稿日期:2008-04-29

基金項目:国家自然科学重大研究计划资助项目 (90209052), 江苏省博士创新基金资助项目 (2005098), 中南民族大学人才引进专项 课题 (YZZ06020)

作者简介:徐 睿(1966一),男,江苏省东海县人,主管药师,中药学专业硕士,研究方向为临床药理学。

Tel: 13505222316 E-mail: zhouxurui@163.com *通讯作者 邓旭坤 Tel: 13407100639 E-mail: dxk711208@163.com

100 μ L 的马钱子碱溶液,使其终浓度为 0、0.5、1.0 mmol/L。常规细胞培养,于 12、24、48 h 后,取出玻片用 4 ℃ 的 0.01 mmol/L PBS (pH 7.4) 轻轻洗2次,加人 AO/EB 混合荧光染液 (各 100 μ g/mL) 2 滴,选用 502 nm 的激发光,荧光显微镜下观察细胞核染色质的形态。

2.2 透视电镜检测细胞膜完整性和超微结构变化^[8]:取对数生长的 HepG2 细胞制成细胞悬液(1×10⁵/mL),接种于 25 mL 的细胞培养瓶中,待细胞贴壁良好,处于对数生长期时,加人马钱子碱溶液使其终浓度为 0.5 mmmol/L,于 24 h 后轻轻刮下细胞,1 000 r/min 离心 5~10 min,获得细胞团块,用 0.01 mmol/L PBS (pH 7.4) 洗2次,4% 戊二醛溶液固定过夜,4 ℃ 保存待检。PBS 洗3次,1% 锇酸双重固定,PBS 洗3次,蒸馏水冲洗1次,系列乙醇-丙酮程序脱水,无水丙酮-环氧树脂渗透,环氧树脂 EPON812 包埋,硬化,超薄切片,枸橼酸铅-醋酸铀染色,透视电镜观察细胞形态和超微结构变化。2.3 LSCM 检测马钱子碱对 HepG2 的 MP^[9~11]的影响

2.3.1 荧光染色的预处理:将处于对数生长期的 HepG2 细胞接种于预先放入经多聚赖氨酸处理过 的小载玻片的 12 孔板中 (2.0×103/mL), 待细胞 贴壁后,分别加入药物处理。于 30 s、4 h、8 h、12 h 后进行 MP 检测。检测前吸出 12 孔板各孔中的细 胞培养液,用 D Hank's 液洗 2~3 遍,加入 PBS (pH 7.4) 1 mL 和 2 滴 Di-4-ANEPPS 荧光染液, 37 ℃ 避光温育 20~40 min,保留染料,上机检测。 2.3.2 马钱子碱对 HepG2 细胞 MP 瞬时动态变 化的影响:将荧光染料负载好的待测细胞置于激光 共聚焦显微镜的载物台上 (37 ℃),对其进行连续 动态扫描(激发波长 488 nm,发射波长 526 nm), 先连续扫描 1 min,测定基础荧光强度,待基线平稳 后,用微量加液器加入马钱子碱溶液(0.5 mmol/ L) 干预,以后每隔 20 s 扫描1 次。镜下动态观察给 药后 20~30 min 内 HepG2 细胞内的相对荧光强度 (relative fluorescence intensity, RFI) 的变化情况, 采用 LSM5.1-Image 分析程序,对所扫描的荧光图 像进行分析,根据细胞膜结合 Di-4-ANEPPS 后其 荧光的相对强度变化,得出反映细胞膜 MP 动态变 化的曲线。

2.3.3 马钱子碱在不同时间段内对 HepG2 细胞MP 的影响: 荧光探针的负载和观察方法同上,细胞设正常组和药物处理组,给药组细胞中分别加人马

钱子碱 (0:5 mmol/L),常规细胞培养。分别在 4、8、12 h 后,置于 LSCM 下,快速测定 HepG2 细胞 MP的相对荧光强度。以正常细胞组作为 0 h 段,比较经马钱子碱 (0.5 mmol/L) 处理 4、8、12 h 后 HepG2细胞的 MP 的变化。

2.4 数据处理: HepG2 细胞 MP 的瞬时动态变化的检测采用 Carl Zeiss LSM510 软件 (版本V2.3),随机选取视野中的10个细胞,以未加处理因素前的细胞内荧光值为 100%,对待测细胞进行实时测量,以获得反映 HepG2 细胞膜 MP 的瞬时动态变化的相对荧光值。数据进行独立样本 t 检验分析。

马钱子碱在不同时间段内对 HepG2 细胞 MP 的影响的检测以正常细胞的荧光值为 100%,测量得到反映经马钱子碱处理 4.8.12 h 后的 HepG2 细胞的 MP 的相对荧光值。数据经 Excel 处理。采用双样本 t 检验进行组间分析。

3 结果

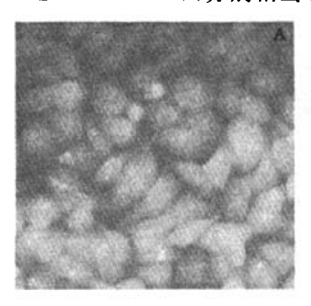
3.1 对 HepG2 细胞核染色质和细胞膜完整性、通透性的影响:马钱子碱(0.5 mmol/L)作用于HepG2 细胞 12 h 后,通过荧光显微镜和透视电镜只能观察到 HepG2 细胞出现的细胞早期凋亡形态,如细胞核固缩伴随核碎裂,呈新月状或块状边集附在核膜周边,线粒体内嵴肿胀消失,细胞膜保持完整等现象。24 h 后,HepG2 细胞不仅呈现上述形态,而且还表现为细胞皱缩,胞浆内形成空泡;细胞膜依然完整,皱缩外突、出芽形成致密的凋亡小体(apoptosome)等典型的细胞凋亡形态学变化。

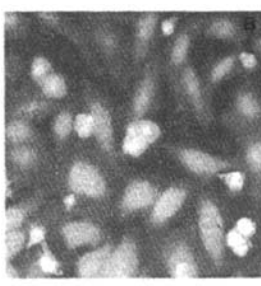
在荧光显微镜下可看到 HepG2 细胞经马钱子 碱 (0.5 mmol/L) 作用 24 h 后, 胞浆内只呈现黄绿 色的 AO 荧光,细胞核内出现块状或点状的高亮度 的致密黄色荧光,说明此时虽然细胞发生了凋亡,但 其细胞膜依然保持十分完整,细胞膜的通透性没有明 显改变(图 1-B);48 h 后,少部分细胞内部可看到红 色的 EB 荧光,细胞核内可看到亮度很高的致密黄色 荧光,说明此时有部分细胞的细胞膜通透性明显增 加,细胞开始产生坏死,但仍以凋亡为主(图1-C)。 3.2 对 HepG2 细胞中 MP 的影响[7,10]:结果显示, HepG2 细胞在马钱子碱加入后的 20 min 瞬时反应 中,HepG2 细胞膜电位荧光 (MP RFI) 出现缓慢的 下降,由基线水平 (RFI 103.44±17.21),于 4 min 后降到谷值 (RFI 90.04±15.54),然后轻度回升, 于 13.5 min 后回到基线水平 (RFI 103.90 ± 13.54),在此期间,MP RFI 在 (90.04±15.54)~ (103.90±13.54) 内波动。至实验结束时, HepG2 细胞的 MP RFI 为 99.79±14.18 相当于起始基线 水平 (RFI 103.44±17.21) 的 96.47%, 两者相比 无显著性差异 (P>0.05)。

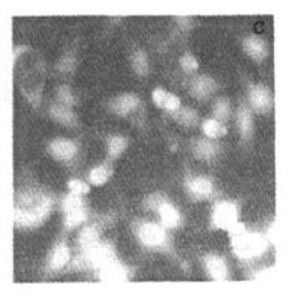
马钱子碱 (0.5 mmol/L) 作用于 HepG2 细胞4 h 和 8 h 后,细胞内荧光无明显变化 (图 2-B、C),结果分析显示其 MP RFI 分别为 113.07±25.97 (4 h) 和 109.35±20.728 (8 h),分别相当于 0 h 的

112.24% 和 108.55%,与 0 h 的 MP RFI (100.74±20.01)相比无显著性差异 (P>0.05)。但在 12 h 后细胞内荧光明显增强 (图 2-D),MP RFI 明显上升,达到 153.55±19.33,为 0 h 的 152.42%,两者有显著性差异 (P<0.001),见图 3。

分析以上结果可以看出,马钱子碱(0.5 mmol/L)在 20 min 内对 HepG2的 MP 有一定的动态影



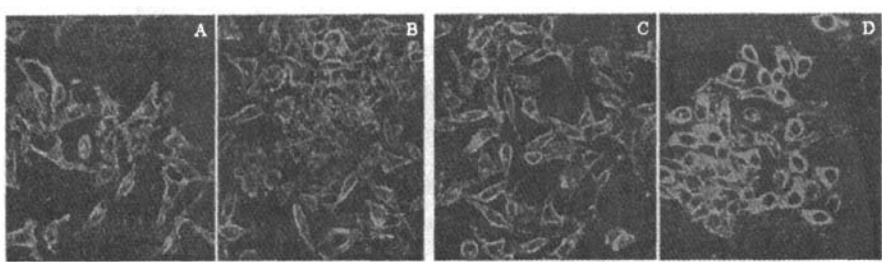




A-对照组细胞 B-马钱子碱 (0.5 mmol·L⁻¹) 处理 24 h 的细胞 C-马钱子碱 (1.0 mmol·L⁻¹) 处理 48 h 的细胞 A-control cells B-brucine treated cells (0.5 mmol·L⁻¹, 24 h) C-brucine treated cells (1.0 mmol·L⁻¹, 48 h)

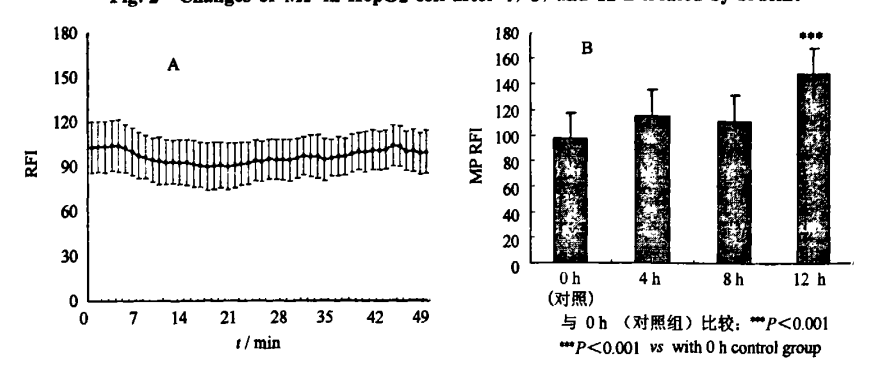
图 1 马钱子碱处理后 HepG2 细胞核染色质形态及细胞膜通透性的变化 (AO/EB 荧光染色法)

Fig. 1 Chromatin morphological change of nuclei in HepG2 cell lines treated by brucine and change of cell membrance permeability (AO/EB staining)



A-对照组细胞 B-处理 4 h 的细胞组 C-处理 8 h 的细胞组 D-处理 12 h 的细胞组
A-control cells B-brucine treated cells (4 h) C-brucine treated cells (8 h) D-brucine treated cells (12 h)
图 2 激光共聚焦显微镜观察马钱子碱(0.5 mmol/L)处理后 HepG2 MP 的变化

Fig. 2 Changes of MP in HepG2 cell after 4, 8, and 12 h treated by brucine



A-马钱子碱对 HepG2 细胞 MP 瞬时动态变化的影响 B-马钱子碱作用于 HepG2 细胞 4.8.12 h 后,MP RFI 的变化 A-effect of brucine (0.5 mmol·L⁻¹) on instantaneous changes of MP RFI in HepG2 B-effect of brucine (0.5 mmol·L⁻¹) on changes of MP in RFI HepG2 at 0, 4, 8, and 12 h

图 3 马钱子碱对 HepG2 MP 的影响 (x±s, n=10)

Fig. 3 Effect of brucine (0.5 mmol/L) on changes of MP in HepG2 cell ($\bar{x}\pm s$, n=10)

响,细胞膜出现了缓慢超极化,但此作用较为微弱。 4 h 和 8 h 两个时间段内 HepG2 的 MP 有所降低,但幅度较小,无显著差异。在 12 h 后使其细胞的 MP 明显降低,细胞膜出现较强烈的去极化现象。

4 讨论

在目前,诱导肿瘤细胞凋亡是治疗肿瘤的重要 机制和研究方向。细胞膜对细胞的正常结构与功能 起重要调控作用,如:跨膜信号传递,选择性地进行 物质跨膜运输,调控细胞内外离子水平及渗透压的 平衡,维持细胞内环境的恒定[10.11]。因此,保持细胞 膜正常的通透性对细胞来说至关重要。细胞膜上的 离子转运系统,包括离子通道、载体蛋白和离子泵。 使细胞膜内外保持着一定的不均衡离子分布,形成 内负外正 (MP),这种电位梯度对多种离子的跨膜 流动是必需的。MP 的自稳失调将导致细胞膜生物 物理特性改变而影响细胞质微环境。因此细胞膜正 常的通透性、完整性以及 MP 是反映细胞生理活性 的重要指标。当细胞膜发生异常时,细胞内环境遭到 破坏,就可能导致细胞凋亡现象的发生。近年发现非 兴奋性细胞如淋巴细胞、肿瘤细胞等也存在膜电 位[10~12]。如药物能对肿瘤细胞的细胞膜的通透性、完 整性以及 MP 产生作用,则会影响其生理功能,于扰 其代谢活动,从而有可能抑制其增殖。已有一些报道 发现一些抗肿瘤药物对肿瘤细胞的 MP 有明显影 啊,但马钱子碱对肿瘤细胞膜的作用则未见报道。

由于细胞凋亡的早期阶段如凋亡信号的转导, 肿瘤相关基因的转录和表达往往是在短时间内完成 的。因此,本实验在考察马钱子碱对人肝癌 HepG2 MP 的影响的实验中将设计分为两个部分:利用 LSCM 检测马钱子碱对 HepG2 细胞的 MP 瞬时变 化的影响以及在 4~12 h 等不同时间段 MP 变化的 影响。两次实验条件有些不同:瞬时反应实验使用的 为 D Hank's 液,不同时段的考察实验采用含 10% 小牛血清的 RPMI-1640 培养液,更接近于正常的 生物机体内环境。结果发现在加入马钱子碱(0.5 mmol/L) 瞬间至 20 min 的时间内, HepG2 的 MP 在正常范围内窄幅波动,没有出现明显变化;在 4 h 和 8 h 内 HepG2 的 MP 没有发生明显变化,说明此 时细胞膜结构和功能没有受到大的损害。同时也说 明马钱子碱对 HepG2 MP 的影响与细胞外环境的 关系不是很大,而与作用时间有一定的关系。在 12 h 后 MP 显著降低,细胞膜出现较强烈的去极化现 象,同时又考察马钱子碱对 HepG2 细胞内游离钙 离子浓度($[Ca^{2+}]_i$)和线粒体电位($\Delta\Psi_m$)变化的

影响,发现无论在瞬间还是在 $4 \sim 12 \text{ h}$ 等不同时间段,都出现了细胞内的 $[\text{Ca}^{2+}]$ 急剧升高而 $\Delta \Psi_m$ 剧烈下降的现象 [6] 。这些实验结果提示马钱子碱在较长时间 (> 12 h) 时可能影响细胞膜某些离子通道或转运系统。细胞膜外两侧的不均衡分布的离子容易进出细胞,导致离子梯度减小,细胞 MP 便会随之迅速下降。

通过荧光显微镜和透视电镜可以观察到马钱子碱对 HepG2 细胞膜的完整性及通透性的影响:从细胞超微结构和细胞形态学的变化来看,经马钱子碱(0.5 mmol/L)作用 24 h 后,HepG2 胞体缩小,细胞胞核固缩伴随核碎裂,呈新月状或块状,边集附在核膜周边;线粒体内嵴肿胀消失,形成空泡;皱陷外突、出芽形成致密的凋亡小体等典型的细胞调造、增缩外突、出芽形成致密的凋亡小体等典型的细胞消毒。这可能是因为细胞在受到马钱子和胞,细胞膜通透性异常增加,细胞开始产生坏死,但仍以凋亡为主。这可能是因为细胞在受到马钱子和胞的细胞膜通透性异常增加,细胞开始产生坏死,但仍以凋亡为主。这可能是因为细胞在受到马钱子和胞的细胞膜通透性异常增加,细胞开始产生坏死,但仍以凋亡为主。这可能是因为细胞有更生坏死,但仍以凋亡为主。这可能是因为细胞模损伤,通道不知的作用时,会造成 HepG2 细胞膜损伤,通道和双重白变性失去功能,细胞膜完整性遭到破坏,以至

由于马钱子碱为一极性分子,不能直接进人细胞内部。根据以上的实验结果,可以说明马钱子碱诱导 HepG2 细胞凋亡与其细胞膜通透性及 MP 没有太大的相关性。猜想在短时间马钱子碱引发 HepG2 细胞的早期凋亡事件中,可能马钱子碱是先结合细胞膜上的特定受体,通过细胞膜及细胞内的相关结合组制,急剧升高和线粒体电位剧烈下降来启动细胞凋亡程序,而不是直接通过改变 MP,提高细胞膜通透性甚至是破坏细胞膜的完整性来实现的。至于实际的作用机制是否如此或者还存在其他的机制,尚待以后通过相关的实验研究来开展进一步的验证。

参考文献:

- [1] 邓旭坤,蔡宝昌,马钱子抗肿瘤药理研究及临床应用进展 [A]. 21 世纪中医药-2004 江苏省博士研究生学术论坛文集 [C]. 南京:南京中医药大学,2004.
- [2] 蔡宝昌,吴 皓,杨秀伟,等. 马钱子中16 个生物碱类化合物 13CNMR 谱的数据分析 [J]. 药学学报,1994,29(1);44-48.
- [3] 邓旭坤,蔡宝昌,殷 武,等. 马钱子对小鼠肿瘤的抑制作用[J]. 中国天然药物,2005,3(6):392-395.
- [4] 邓旭坤, 蔡宝昌, 殷 武, 等. Brucine 对 Heps 荷瘤小鼠的 抗肿瘤作用和毒性的研究 [J]. 中国药理学通报, 2006, 22 (1): 35-39.
- [5] Deng X K, Cai B C, Yin W, et al. The anti-tumor effects of alkaloids from the seed of Strychnos nux-vomica on HepG2 cell and its possible mechanism [J]. J Ethnopharmacol, 2006, 30, 106(2): 179-186.

- [6] Deng X K, Yin W, Cai B C, et al. The apoptotic effect of Brucine from the seed of Strychnos nux-vomica on human hepatoma cells is mediated via Bcl-2 and Ca²⁺ involved mitochondrial pathway [J]. Taxicol Sci, 2006, 91(1), 59-69.
- [7] 刘建文,季 光,魏东芝. 药理实验方法学—新技术与新方法 [M]. 北京,化学工业出版社,2003.
- [8] 卢圣栋. 现代分子生物学实验技术 [M]. 北京:中国协和医科大学出版社,2000.
- [9] Plasek J, Hronda V. Assessment of membrane potential changes using the carbocyanine dye, dis-C4-(5); synchro-

- nous excitation spectroscopy studies [J]. Eur Biophys J, 1991, 19(4): 183-188.
- [10] Toyomizu M, Okamoto K, Akiba Y, et al. Anacardic acid-mediated changes in membrane potential and PH gradient across liposomal membranes [J]. Biochim Biophys Acta, 2002, 1558(1): 54-62.
- [11] 冯 力,刘伊丽,刘 杰,等.尼可地尔对豚鼠心肌细胞膜及线粒体膜电位的影响[J].中国病理生理杂志,2001,15(1);23-26.
- [12] 聂思槐,王立伟,陈丽新,等.高、低分化的鼻咽癌细胞膜电位比较[J]. 中国药理与毒理学杂志,1995,11(3);246.

黄杞叶提取物降血糖作用的研究

李晨岚1,2,王大鹏2,蔡 兵2*,郑应华1,2*

(1. 华中农业大学生命科学与技术学院, 湖北 武汉 430091; 2. 北京生物医药研究所, 北京 100091)

搞 要:目的 研究黄杞叶提取物对 α -葡萄糖苷酶活性以及对正常小鼠糖耐量的影响。方法 水煎黄杞叶,得黄杞叶水提物,再经聚酰胺柱色谱分离,得到水洗脱组分 (Fr-1)、20% 乙醇洗脱组分 (Fr-2)、95% 乙醇洗脱组分 (Fr-3)和 90% 丙酮水洗脱组分 (Fr-4)。采用体外 α -葡萄糖苷酶活性筛选模型,测试黄杞叶水提物和各组分样品对 α -葡萄糖苷酶的抑制活性。通过测定小鼠空腹血糖以及糖耐量,评价样品对血糖水平的影响。结果 黄杞叶水提物和Fr-3对体外 α -葡萄糖苷酶活性具有明显的抑制作用,且呈良好的量效关系,Fr-3的抑制作用较黄杞叶水提物增强,程度与样品浓缩倍数吻合。在小鼠体内实验中,黄杞叶水提物和Fr-3对小鼠空腹血糖没有显著影响,但使负荷高糖的小鼠血糖水平显著降低。结论 黄杞叶水提物和 Fr-3能显著提高正常小鼠的糖耐量,其作用机制可能与抑制 α -葡萄糖苷酶活性相关。Fr-3富集黄杞叶水提物的活性成分,是代表黄杞叶水提物相关作用的有效部位。

关键词:黄杞叶;α-葡萄糖苷酶;糖耐量

中图分类号:R286-1 文献标识码:A

文章编号:0253-2670(2008)11-1696-03

黄杞叶为胡桃科植物黄杞 Engelhardtia roxburghiana Wall. 的干燥叶,具有清热止痛之功效,用于治疗感冒发热、疝气腹痛,在民间常用作保健茶饮用。黄杞茶含有大量的黄酮糖苷,具有良好的抗氧化活性。动物实验表明黄杞叶在抗凝血、调血脂等方面都有一定的效果[1]。 黄杞总黄酮可降低四氧嘧啶糖尿病小鼠的血糖[2.3],但是黄杞叶的降糖作用及作用机制尚未有系统的研究。因此,本研究以α-葡萄糖苷酶为作用靶向,探讨黄杞叶提取物对α-葡萄糖苷酶为作用靶向,探讨黄杞叶提取物对α-葡萄糖苷酶活性以及对小鼠血糖水平的影响。

1 材料

- 1.1 药材:实验用黄杞叶于2007年5月采自广西桂 林山区,由广西资源甜茶种植园提供,经广西资源甜 茶种植园技术员曾珊珊鉴定。
- 1.2 试剂与仪器:拜糖苹(阿卡波糖片,北京拜耳医 药保健有限公司,规格 50 mg/片,批号 110163);4-

硝基酚-α-D-吡喃葡萄糖苷 (PNPG,美国 Sigma 公司);牛血清白蛋白、可溶性淀粉 (上海生工生物工程技术服务有限公司);聚酰胺薄膜 (浙江黄岩化学实验厂);化学试剂均为分析纯 (北京化学试剂有限公司);葡萄糖试剂盒 (中生北控生物科技股份有限公司);酶 标仪 (Spetramax M5 型, Molecular Devices Corporation)。

1.3 动物:清洁级昆明种小鼠,雄性,6 周龄,体质量(22±2)g,由中国协和医科大学实验动物中心提供。

2 方法

2.1 黄杞叶的提取及制备:取干燥黄杞叶 500 g,粉碎,水煎提2次,每次用 5 L 水煎煮 2 h,合并水煎液,减压浓缩至小体积后冷冻干燥,得黄杞叶水提物 180 g。取黄杞叶水提物 108 g,用适量水溶解,上聚酰胺柱 (4.6 cm×40 cm,保留体积 550 mL),依次

收稿日期:2008-04-07

作者简介:李晨岚(1983—),女,潮南长沙人,硕士,主要从事中药药理学的研究。Tel;(010)82693619 E-mail; xiaolan0425@163.com *通讯作者 綦 兵 郑应华 Tel;(010)88546390 13391682332